

An airborne geophysical survey of the Uranium City area, Saskatchewan, was flown by Sander Geophysics Limited (SGL) for the Geological Survey of Canada and Saskatchewan Energy and Mines. The purpose of the survey was to obtain gamma-ray spectrometric, aeromagnetic and VLF-EM data. The survey was flown between September 8 and October 10, 2000 using a Britten-Norman Islander BNBZ-21 aircraft flying 120 m above the terrain at a mean speed of 220 km/h.

The 500 m spaced survey lines and orthogonal 7000 m spaced control lines were planned using the SCDrape system. The survey was divided into two adjacent blocks. Survey lines in the northwest block were oriented southeast-northwest, while in the southeast block, survey lines were oriented northeast-southwest. Flight positional data were recorded using a Trimble real time differential GPS system. GPS ground station data were combined with airborne GPS data to produce differentially corrected positional data with an accuracy of 1 m.

Potassium is measured directly from the 1460 keV gamma-ray photons emitted by ⁴⁰K. Uranium and thorium must be measured indirectly from gamma-ray photons emitted by daughter products (²¹⁴Pb for uranium and ²¹⁴Pb for thorium). Although these daughters are far from their respective decay chains, they are assumed to be in secular equilibrium with their parents; thus gamma-ray spectrometric measurements of uranium and thorium are referred to as equivalent uranium (eU) and equivalent thorium (eTh).

The airborne gamma-ray measurements were made with an Explorerium GR20 gamma-ray spectrometer using fourteen 102 x 102 x 406 mm NaI(Tl) crystals. The main detector array consisted of twelve crystals (total volume 50.4 litres). Two crystals (total volume 8.4 litres), shielded from the ground by the main array, were used to detect variations caused by atmospheric radon. The GR20 constantly monitors the natural potassium peak for each crystal, using a Gaussian least squares algorithm to adjust the gain for individual crystals.

Gamma-ray spectra were recorded at one-second intervals. Noise Adjusted Singular Value Decomposition (NASVD) analysis was carried out on full spectrum 256 channel data to reduce statistical noise in the raw data. During processing, the spectra were energy calibrated, and counts were accumulated into the energy windows. Counts from the radon detectors were recorded in a 1600 - 1800 keV window and radiation at energies greater than 3000 keV was recorded in the cosmic window. The standard windows used are 1370 - 1570 keV for potassium, 1660 - 1860 keV for uranium, 2410 - 2610 keV for thorium and 400 - 2610 keV for total activity data.

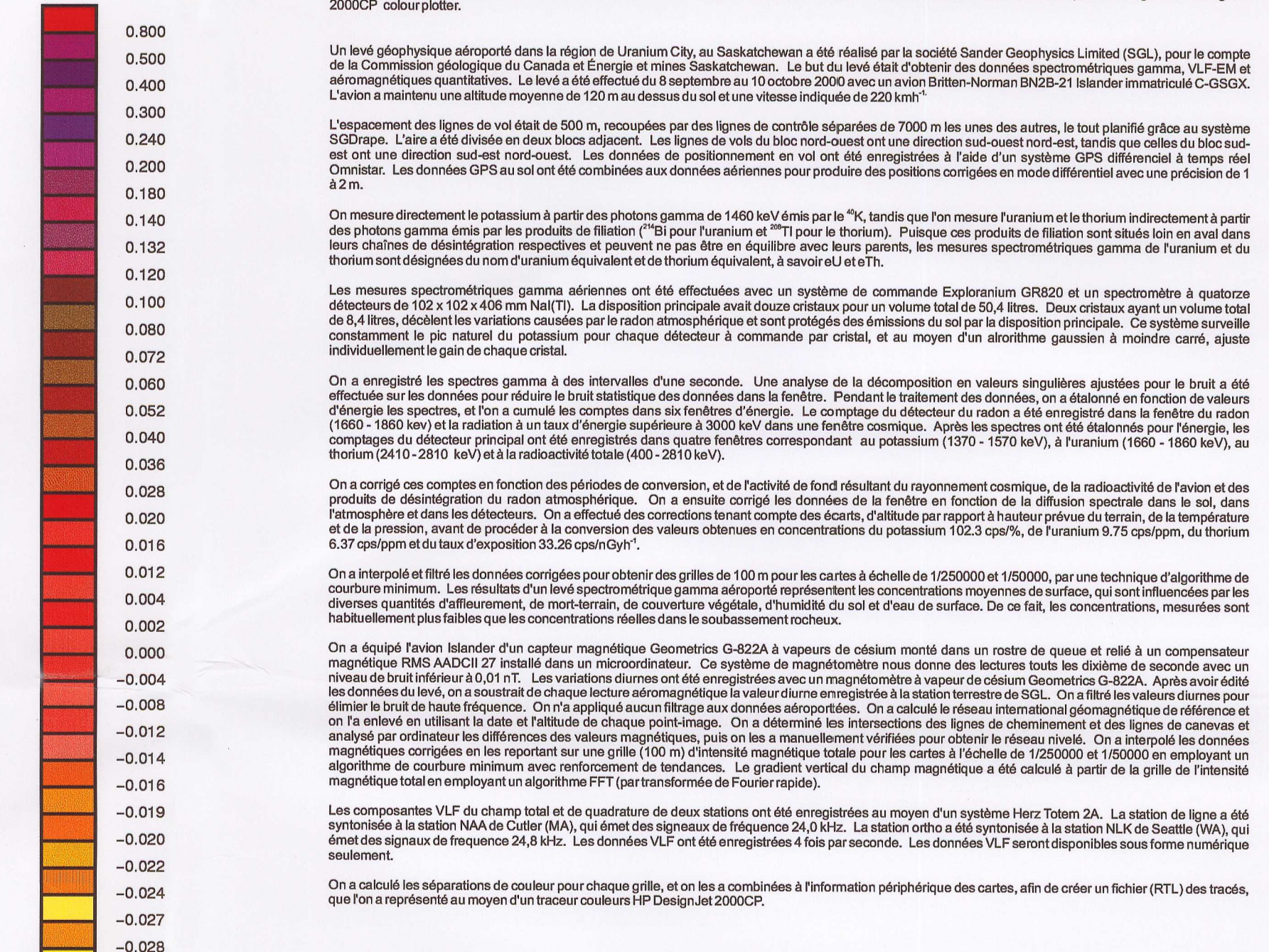
All window counts were corrected for dead time. The standard windows were corrected for background activity from cosmic radiation, the radioactivity of the aircraft and atmospheric radon decay products. The potassium, uranium and thorium window data were then corrected for spectral scattering in the ground, air and detectors. The four standard windows were corrected for deviations of altitude from the planned terrain clearance and for variations of temperature and pressure prior to conversion to standard units. The conversion factors used were 102.3 cps/% for potassium, 6.37 cps/ppm for uranium, 6.37 cps/ppm for thorium and 33.26 cps/eU% for total activity data.

Corrected data were filtered and interpolated to a 100 m grid for the 1:250 000 and 1:50 000 scale maps using a minimum curvature algorithm technique. The results of an airborne gamma-ray spectrometer survey represent the average surface concentrations that are influenced by varying amounts of outcrop, overburden, vegetation cover, soil moisture and surface water. As a result the measured concentrations are usually lower than the actual bedrock concentrations.

The aircraft was equipped with a Geometrics G-822A cesium vapour magnetic sensor mounted in a stirrup to the rear of the aircraft, connected to an RMS AADC1 27 term magnetic compensator installed in a microcomputer. The magnetometer data were recorded every 0.1 seconds with a noise level of less than 0.01 nT. Diurnal variations were recorded at 0.2 second intervals using a Geometrics cesium vapour base station magnetometer. After editing the survey data, low pass filtered diurnal values were subtracted from the unfiltered magnetometer data. The International Geomagnetic Reference Field was calculated and removed using the date and altitude for each data point. The intersections of traverse and control lines were determined and the magnetic values were computed and analysed and manually checked to obtain the final data network. The corrected magnetic data were converted to a 100 m grid for the 1:250 000 and 1:50 000 scale maps using a minimum curvature algorithm with grid trend reinforcement. The vertical gradient of the magnetic field was calculated from the total magnetic field using an FFT based algorithm.

VLF total field and quadrature components for two frequencies were recorded using a Herz Totem 2A system. The line station was turned to station NAA of Cutler, MA, transmitting at 24.0 kHz. The ortho station was turned to the 24.8 kHz station NLK at Seattle, WA. VLF data were recorded 4 times per second. VLF data will only be made available with the digital file.

Colour levels were calculated for each grid and combined with map surround information to create an RTL plot file, which was plotted using an HP DesignJet 2000CP colour plotter.



Un levé géophysique aéroporté dans la région de Uranium City, au Saskatchewan a été réalisé par la société Sander Geophysics Limited (SGL), pour le compte de la Commission géologique du Canada et Mines Saskatchewan. Le but de ce levé était d'obtenir des données spectrométriques gamma, VLF-EM et aéromagnétiques quantitatives. Le levé a été effectué du 8 septembre au 10 octobre 2000 avec un avion Britten-Norman BNBZ-21 Islander instrumenté G-SGX. L'avion a maintenu une altitude moyenne de 120 m au-dessus du sol et une vitesse indiquée de 220 km/h.

L'espacement des lignes de vol était de 500 m, recoupées par des lignes de contrôle espacées de 7000 m les unes des autres, le tout planifié grâce au système SCDrape. L'aire a été divisée en deux blocs adjacents. Les lignes de vols du bloc nord-ouest ont une direction sud-ouest-nord-est, tandis que celles du bloc sud-est ont une direction nord-est-sud-ouest. Les données de positions en temps réel ont été enregistrées à l'aide d'un système GPS différentiel à temps réel Trimble. Les données GPS au sol ont été combinées aux données aériennes pour produire des positions corrigées avec une précision de 1 m.

On mesure directement le potassium à partir des photons gamma de 1460 keV émis par le ⁴⁰K, tandis que l'on mesure l'uranium et le thorium indirectement à partir des photons gamma émis par les produits de fission (²¹⁴Pb pour l'uranium et ²¹⁴Pb pour le thorium). Puisque ces produits de fission sont situés loin en aval dans leurs chaînes de désintégration respectives et peuvent ne pas être en équilibre avec leurs parents, les mesures spectrométriques gamma de l'uranium et de thorium sont désignées du nom d'équivalent d'uranium (eU) et d'équivalent de thorium (eTh).

Les mesures spectrométriques gamma aéroportées ont été effectuées avec un système de commande Explorerium GR20 et un spectromètre à quatre détecteurs de 102 x 102 x 406 mm NaI(Tl). La disposition principale avait douze cristaux pour un volume total de 50,4 litres. Deux cristaux ayant un volume total de 8,4 litres, blindés par rapport au sol, étaient utilisés pour détecter les variations causées par le radon atmosphérique. Le GR20 surveille constamment le pic naturel du potassium pour chaque détecteur à commande par cristal, et au moyen d'un algorithme gaussien à moindres carrés, ajuste individuellement le gain de chaque cristal.

On a enregistré les spectres gamma à des intervalles d'une seconde. Une analyse de la décomposition en valeurs singulières ajustées pour le bruit a été effectuée sur les données pour réduire le bruit statistique dans les données brutes. Pendant le traitement des données, on a éliminé les valeurs d'énergie des spectres, et on a cumulé les comptes dans six fenêtres d'énergie. Le corrigé du détecteur de radon a été enregistré dans la fenêtre du radon (1600 - 1800 keV) et la radiation à haute énergie a été enregistrée dans une fenêtre cosmique. Après les spectres ont été échantillonnés pour l'énergie, les comptages du détecteur principal ont été enregistrés dans quatre fenêtres correspondant au potassium (1370 - 1570 keV), à l'uranium (1660 - 1860 keV), au thorium (2410 - 2610 keV) et à l'activité totale (400 - 2610 keV).

On a corrigé ces comptes en fonction des périodes de conversion, et de l'efficacité de fond résultant du rayonnement cosmique, de la radioactivité de l'avion et des produits de désintégration du radon atmosphérique. On a ensuite corrigé les données de la fenêtre en fonction de la diffusion spectrale dans le sol, dans l'atmosphère et dans les détecteurs. Les données de la fenêtre ont été corrigées de la diffusion spectrale dans le sol, de la température et de la pression, avant de procéder à la conversion des valeurs observées en concentrations de potassium 102,3 cps/%, de l'uranium 6,37 cps/ppm, de thorium 6,37 cps/ppm et de l'activité totale 33,26 cps/eU%.

On a interpolé et filtré les données corrigées pour obtenir des grilles de 100 m pour les cartes à échelle de 1:250 000 et 1:50 000, par une technique d'algorithme de courbure minimum. Les résultats d'un levé spectrométrique gamma aéroporté représentent les concentrations moyennes de surface, qui sont influencées par les diverses quantités d'affleurement, de relief, de couverture végétale, d'humidité du sol et d'eau de surface. De ce fait, les concentrations, mesurées sont habituellement plus faibles que les concentrations réelles dans le sous-sol rocheux.

On a équipé l'avion Islander d'un capteur magnétique Geometrics G-822A à vapeur de césium monté dans un cadre de queue et relié à un compensateur magnétique RMS AADC1 27 installé dans un microordinateur. Ce système de magnéto-mètre nous donne des lectures tous les dixième de seconde avec un niveau de bruit inférieur à 0,01 nT. Les variations diurnes ont été enregistrées avec un magnéto-mètre Geometrics G-822A. Après avoir éliminé les données du levé, on a soustrait de chaque lecture aéromagnétique la valeur d'un champ magnétique à la station terrestre de SGL. On a filtré les valeurs diurnes pour éliminer le bruit de fond diurne. On n'a appliqué aucun filtrage aux données aéroportées. On n'a appliqué aucun filtrage aux données de cheminement et de lignes de contrôle et on n'a enlevé en utilisant la date et l'altitude de chaque point-image. On a déterminé les intersections des lignes de cheminement et de lignes de contrôle et on a analysé par ordinateur les différences des valeurs magnétiques, puis on les a manipulées verticalement pour obtenir le réseau final. On a interpolé les données magnétiques corrigées en les reportant sur une grille de 100 m d'intervalles magnétiques totaux pour les cartes à l'échelle de 1:250 000 et 1:50 000 en employant un algorithme de courbure minimum avec renforcement de tendances. Le gradient vertical du champ magnétique a été calculé à partir de la grille de l'intensité magnétique totale en employant un algorithme FFT (par transformée de Fourier rapide).

Les composantes VLF du champ total et de quadrature de deux stations ont été enregistrées au moyen d'un système Herz Totem 2A. La station de ligne a été synchronisée à la station NAA de Cutler (MA), qui émet des signaux de fréquence 24,0 kHz. La station ortho a été synchronisée à la station NLK de Seattle (WA), qui émet des signaux de fréquence 24,8 kHz. Les données VLF ont été enregistrées 4 fois par seconde. Les données VLF seront disponibles sous forme numérique seulement.

On a calculé les séparations de couleur pour chaque grille, et on les a combinées à l'information périphérique des cartes, afin de créer un fichier (RTL) des tracés, que l'on a représentés au moyen d'un traceur couleurs HP DesignJet 2000CP.

LEGEND / LÉGENDE

Road / Chemin	Wetland / Marais
Cart track / Chemin de terre	Lake / Lac; Intermittent
Trail / Sentier	Watercourse / Cours d'eau
Power transmission line / Ligne électrique	Flooded area / Région inondée
Runway / Piste d'atterrissage	Esker / Eskier
Bridge / Pont	Sand / Sable
Built-up area / Agglomération	Elevation contour / Courbes d'élévation
Man-made feature / Trait anthropologique	Depression contour / Courbes de dépression
Building / Bâtiment	Flight Line / Ligne de vol
Dam / Barrage	

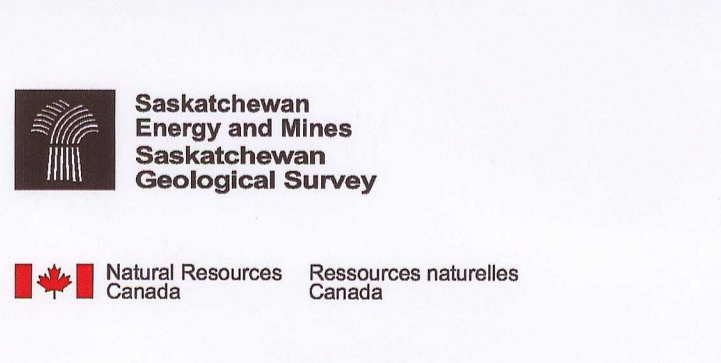
Digital cartographic base information supplied by Information Services Corporation of Saskatchewan. Elevation contour interval 15 metres.

L'information cartographique numérique a été fournie par Information Services Corporation of Saskatchewan. Équidistance des courbes d'élévation 15 mètres.

Recommended citation:
Carson J.M., Holman P.B., Shives R.B.K., Ford K.L., Ashton K., Slimmon W., 2001. Magnetic First Vertical Derivative Map, Zin Bay, Saskatchewan: NTS 74N/14, Geological Survey of Canada, Open File 3953_90, Scale 1:50 000.

Notation bibliographique conseillée:
Carson J.M., Holman P.B., Shives R.B.K., Ford K.L., Ashton K., Slimmon W., 2001. Carte de la dérivée première verticale du champ magnétique, Zin Bay, Saskatchewan: SNRC 74N/14, Commission géologique du Canada, Dossier Public 3953_90, Échelle 1:50 000.

Project funded by Geological Survey of Canada through the Targeted Geoscience Initiative and by Saskatchewan Northern Affairs. Ce projet a été financé par la Commission géologique du Canada par l'entremise de l'Initiative géoscientifique ciblée et aussi financé par Saskatchewan Northern Affairs.



MAGNETIC FIRST VERTICAL DERIVATIVE MAP
CARTE DE LA DÉRIVÉE PREMIÈRE VERTICALE DU CHAMP MAGNÉTIQUE

ZIN BAY
SASKATCHEWAN
NTS / SNRC 74N/14

Scale 1 : 50 000 - Échelle 1 / 50 000

Transverse Mercator Projection
South American Datum 1983
© Crown Copyright Reserved

Open File
Dossier Public
3953_90
Geological Survey of Canada
Commission géologique du Canada
2001

SEM Open File 2001-4
Map 90 of 110

MAGNETIC FIRST VERTICAL DERIVATIVE MAP
CARTE DE LA DÉRIVÉE PREMIÈRE VERTICALE DU CHAMP MAGNÉTIQUE

ZIN BAY
SASKATCHEWAN
NTS / SNRC 74N/14

This map has been reprinted from a scanned version of the original map. Reproduction par numérisation d'une carte sur papier.

